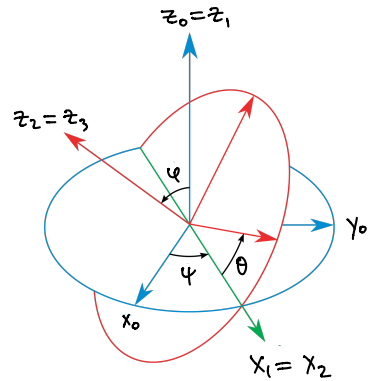
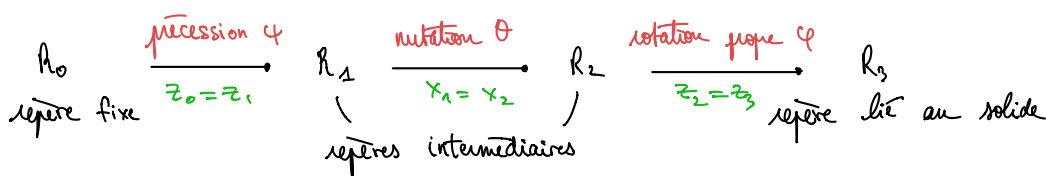


I 1.



vitesse angulaire :  $\vec{\omega}_0 = \dot{\psi} \vec{z}_0 + \dot{\theta} \vec{x}_1 + \dot{\varphi} \vec{z}_2$  par addition des vitesses de rotation

$$\vec{e}_3 = \cos \theta \vec{j}_2 + \sin \theta \vec{i}_2$$

$$\vec{\omega}^{(R_2)}_{\text{simple}} = \begin{cases} \dot{\theta} \vec{x}_2 \\ \dot{\varphi} \sin \theta \vec{j}_2 \\ (\dot{\varphi} \cos \theta + \dot{\psi}) \vec{z}_2 \end{cases}$$

?

### Équations d'Euler

On applique le TMC au solide S dans R galilien au point O fixe

$$\frac{d\vec{L}_0}{dt} \Big|_R = \vec{M}_0$$

$$\vec{L}_{0/R} = [\mathbb{I}]_0 \vec{\omega}_{S/R} \quad \text{où} \quad [\mathbb{I}]_0 = \begin{bmatrix} I_1 & 0 & 0 \\ 0 & I_2 & 0 \\ 0 & 0 & I_3 \end{bmatrix}_{R'}$$

simple

$$\vec{\omega}_{S/R} = \dot{\psi} \vec{z}_0 + \dot{\theta} \vec{x}_1 + \dot{\varphi} \vec{z}_2 = \begin{bmatrix} w_1 \\ w_2 \\ w_3 \end{bmatrix}_{R'}$$

compliqué

On écrit cette égalité vectorielle dans le repère principal d'inertie (lié au solide) R' avec

$$\frac{d\vec{L}_0}{dt} \Big|_R = \frac{d\vec{L}_0}{dt} \Big|_{R'} + \vec{\omega}_{S/R} \wedge \vec{L}_0 = \vec{M}_0$$

$$\text{or} \quad \vec{L}_{0/R} = [\mathbb{I}]_0 \vec{\omega}_{S/R} \quad \text{où} \quad [\mathbb{I}]_0 = \begin{bmatrix} I_1 & 0 & 0 \\ 0 & I_2 & 0 \\ 0 & 0 & I_3 \end{bmatrix}_{R'}$$

donc les composantes projetées dans R' donnent

$$\begin{bmatrix} I_1 \dot{w}_1 \\ I_2 \dot{w}_2 \\ I_3 \dot{w}_3 \end{bmatrix}_{R'} + \begin{bmatrix} w_1 \\ w_2 \\ w_3 \end{bmatrix}_{R'} \times \begin{bmatrix} I_1 w_1 \\ I_2 w_2 \\ I_3 w_3 \end{bmatrix}_{R'} = \begin{bmatrix} M_1 \\ M_2 \\ M_3 \end{bmatrix}_{R'}$$

$$\vec{\omega}_{S/R} = \begin{bmatrix} w_1 \\ w_2 \\ w_3 \end{bmatrix}_{R'}$$

Pour un solide S ayant une symétrie de révolution autour de  $\vec{e}_j$ ,

l'approximation gyroscopique est vérifiée lorsque

$$\vec{\omega}_{S/R} \simeq \| \vec{\omega}_{S/R} \| \cdot \vec{e}_j$$

axe de sym. de révolution de S

ie lorsque la vitesse de rotation autour de son axe de révolution est très grande devant toutes les autres vitesses de rotation ie

$$|\dot{\phi}| \gg |\dot{\theta}|$$

en angles d'Euler

$$\vec{L}_0 = [I]_0 \vec{\omega}_{S/R} = \begin{bmatrix} I_1 & & \\ & I_2 & \\ & & I_3 \end{bmatrix} \begin{bmatrix} 0 \\ 0 \\ \dot{\phi} \end{bmatrix} = I_3 \dot{\phi} \vec{e}_j$$

3. TMC au point O dans R

$$\frac{d\vec{L}_0}{dt} \Big|_R = \vec{O}\vec{G} \times \vec{m}\vec{g} \simeq \frac{mgL}{I_0} \vec{L}_0 \times \vec{g}$$

$$\frac{d\vec{L}_0}{dt} = \vec{\Omega} \times \vec{L}_0 \quad \text{où } \vec{\Omega} = -\frac{mg\vec{g}}{I_0}$$

vitesse de precession

équation du mouvement

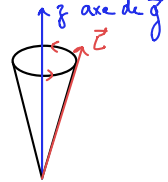
Propriétés : (i)  $\left( \frac{d\vec{L}_0}{dt} = \vec{\Omega} \times \vec{L}_0 \right) \cdot \vec{L}_0 \rightarrow$

$\|\vec{L}_0\|$  conservé

(ii)  $\left( \frac{d\vec{L}_0}{dt} = \vec{\Omega} \times \vec{L}_0 \right) \cdot \vec{g} \rightarrow$

$\vec{L}_0$  conservé

$\vec{L}_0$  préme au tour de  $\vec{L}_0$   
à vitesse  $\vec{\Omega}$



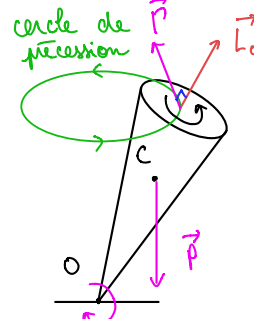
Orbite de précession :

$$\vec{L}_0 = \begin{pmatrix} L_x \\ L_y \\ L_z \end{pmatrix} \quad \text{conservé}$$

$$\begin{aligned}\dot{L}_x &= -\omega L_y \\ \dot{L}_y &= +\omega L_x\end{aligned}$$

$$j = i\omega z \rightarrow j(t) = e^{i\omega t} j_0$$

mesurement de rotation à vitesse  $\omega$



Vérification

$$\text{AN: } \omega = \frac{mg}{I_0 \cdot \dot{\phi}}$$

vs

$\dot{\phi}$

## Gyroscope

Solide de révolution tournant autour de son axe à très grande vitesse et suspendu parfaitement par son centre de masse.

Dans le galilien :

$$\boxed{\frac{d\vec{L}_G}{dt}}_R = 0 \quad \text{car le moment du poids en G est nul}$$

gyroscope

la liaison est articulée

## Couple gyroscopique

Lorsqu'on essaie de changer l'axe de rotation  $\Delta$  du gyroscope, le gyroscope exerce un couple :

$$\begin{aligned}\left( \frac{d\vec{L}_G}{dt} \right)_R &= \vec{M}_G, \text{ ext} \rightarrow \text{gyro} = -\vec{r}_G \times \vec{F}_{G, \text{ ext}} \\ &= \underbrace{\left( \frac{d\vec{L}_G}{dt} \right)}_{\Delta} + \vec{\omega}_{\Delta/R} \times \vec{L}_G = \vec{\omega}_{\Delta/R} \times \vec{L}_G \quad \rightarrow \\ &\quad \boxed{\vec{r}_G \times \vec{F}_{G, \text{ ext}} = \vec{L}_G \times \vec{\omega}_{\Delta/R}} \\ &\quad \text{○ car } \vec{L}_G \parallel \Delta \text{ dans l'approx. gyroscopique}\end{aligned}$$

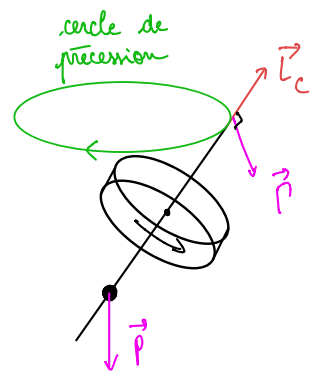
Application : couple exercé par les pales d'un avion qui fait un virage  
expérience de la roue sur chaise tournante

## Applications

La stabilité des gyroscopes due à leur vitesse de rotation donne une direction  $\vec{L}_0$  stable

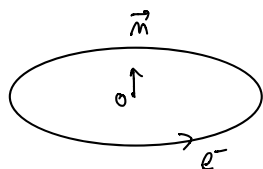
- ↳ l'axe du gyroscope est fixe dans le galilien, par rapport aux étoiles lointaines.
- ↳ application au repérage spatial dans un véhicule
- ↳ un Tenu, la rotation apparente de l'axe  $\Delta$  du gyro est de  $\vec{\omega}_{\Delta/R_T} = \vec{\omega}_{R_C/R_T} = -\vec{\omega}_{\text{terre}}$  /  $\vec{\omega}_{\text{Céphénée}}$
- ↳ cause des frottements,  $\Delta$  s'aligne avec  $\vec{\omega}$
- ↳ gyrocompas de Foucault.

2.



III)

1.



$$\vec{M} = I \cdot s \vec{m}$$

$$= -\frac{e}{T} \cdot \pi R^2 \vec{m}$$

$$v = R\omega \rightarrow T = \frac{2\pi R}{v}$$

$$\vec{M} = \underbrace{-\frac{e}{2m_e}}_{\gamma} \cdot \underbrace{\cancel{m_e N R \vec{m}}}_{\vec{L}} = \gamma \vec{L}$$

2.

TMC en 0  
dans  $\vec{B} = B_0 \vec{y}$  uniforme

$$\begin{aligned} \frac{d\vec{L}}{dt} &= \vec{M} \times \vec{B}_0 \\ &= \gamma \vec{L} \times \vec{B}_0 \\ &= \frac{\gamma}{\cancel{m_e}} \vec{B}_0 \times \vec{L} \end{aligned}$$

$$\vec{a} = -\gamma \vec{B}_0$$

ODG : (Key):

$$B_0 = 7T$$

$$r \sim 300 \text{ mtrz} \quad (\text{radius})$$

$$\frac{d\vec{L}}{dt} \Big|_R = \frac{d\vec{L}}{dt} \Big|_R \text{ tournant} + \vec{\omega}_n \vec{L}$$

$\parallel$  TMC                       $\vec{\omega}$

$$-\gamma (\vec{B}_0 + \vec{B}_1) \times \vec{L}$$

$$\frac{d\vec{L}}{dt} \Big|_R \text{ tournant} = \underbrace{(\vec{\omega}_0 + \vec{\omega}_1 - \vec{\omega})}_{\delta \vec{\omega}} \times \vec{L}$$

